

鉄筋コンクリートはりの変形能力に関する一解説について

愛知工業大学

張恒平

正員 青木徹彦

正員 猪股俊司

はじめに

鉄筋コンクリートはりの弾塑性曲げ挙動を調べるには、はり要素の曲げ一曲率 ($M-\phi$) 関係を調べる必要がある。コンクリートの応力一ひずみ関係を得るために、円柱供試体による圧縮実験を行うと共に、同一練り混せのコンクリート材料であっても結果には大きなばらつきが生じる。本研究ではこの点に注目し、コンクリート材料強度のばらつきが鉄筋コンクリートはり要素の $M-\phi$ 関係に及ぼす影響をいくつかのパラメータを用えて調べる。

2 曲げモーメント一曲率 ($M-\phi$) 関係の計算

(1) コンクリート及び鉄筋の応力一ひずみ関係

図1は鉄筋コンクリートはりの曲げ実験⁽¹⁾に際して行った、コンクリート円柱供試体（直径10cm、高さ20cm、材令28日）14本の一軸圧縮実験結果である。これら14本ごとに図2(a)より左近似曲線をあてはめ、最大強度 σ_{cy} 及び図中の各ひずみの値の平均値 M 、標準偏差 S を求めると表1の結果が得られる。

同様に鉄筋D13（公称断面積 12.7 cm^2 ）、材質SD35（公称降伏強度 3500 kg/cm^2 以上）の引張り試験は本を行い、図2(b)に示す降伏応力 σ_y 、最大

応力 σ_u が求められ、これに対する平均値 M 、標準偏差 S を求める結果と表2の結果となつた。コンクリート強度の変動係数 $w = 3\%$ は 65% と鉄筋の $w = 24\%$ に比べて 27倍も大きい値である。

(2) RCはり断面

表1 コンクリートの材料強度定数 (変動係数)

	σ_{cy} (kg/cm^2)	E_{cy}	E_{cu}	E_{co}	$(\times 10^{-3})$
(M)	230.0	2.32	3.06	13.8	
(S)	15.0 (6.5%)	0.15	0.08	0.4	

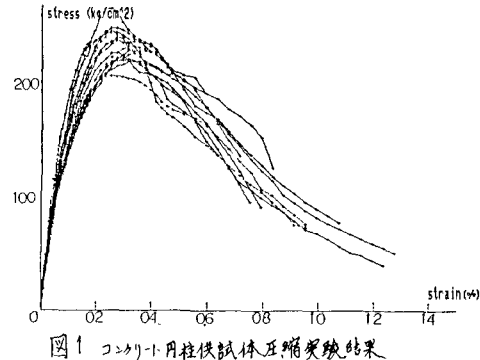


図1 コンクリート円柱供試体圧縮実験結果

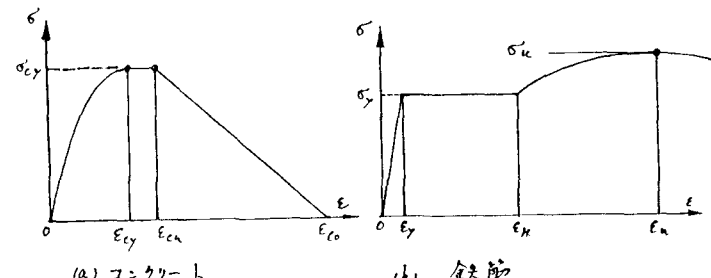


図2 応力一ひずみ近似

表2 鉄筋の材料強度定数 (変動係数)

	σ_y (kg/cm^2)	σ_u (kg/cm^2)	E_y	E_{hd}	E_u	$(\times 10^{-3})$
(M)	395.7	534.2	1.89	18.5	16.3	
(S)	9.8 (2.4%)	9.9 (1.8%)	0.05	0.0	0.0	

計算例に用いたRCはり断面寸法を図3に示す。コンクリート断面積 $B \times H = 280 \text{ cm}^2$ である。図3(a)の上側鉄筋断面積は $A_{S2} = 243 \text{ cm}^2$ 、下側鉄筋断面積は $A_{S1} = 365 \text{ cm}^2$ である。図3(b)は上、下鉄筋断面積 A_{S3} と同じ値、 $[A_{S3} = (A_{S1} + A_{S2})/2]$ とした断面であり、図3(c)はこの断面の上側鉄筋を取除いた単鉄筋はり断面である。図3(a), (b), (c)の断面形をそれぞれType A, B, Cとする。

(3) 計算方法

計算にはコンクリートの引張り応力は無視し、断面内で平面保持の仮定が成立とした。はじめに曲率中立板変形し、次に圧縮縫ひびきを仮定して軸方向合応力 P を計算し、これが0となるよう曲率を試験的に求めた。

3 M-φ関係計算結果

(1) 実験結果との比較

図3(a)に示す断面のRCはりに対するM-φ関係計算結果を図4に示す。図中、M及びM±2Sは表1の材料強度データの平均値M及び標準偏差より、材料強度実験のM及びM±2Sの値を求めて、それぞれのM-φ計算を行った結果表している。¹⁾また、図中黒丸印はこのはりに対する2点載荷曲げ試験結果を表わしている。両者の比較より実験結果は計算値のM+2S曲線にほぼ一致している。これは実験に用いたRCはりに7cm間隔でスチーラー(Φ6mm)が配置されており、はり内部のコンクリート圧縮強度が増大したことによるものと思われる。

(2) 計算結果の比較 図5はコンクリート材料強度のみをM+2Sとした場合、②鉄筋強度のみをM±2Sとした場合、③两者を同時に変動させた場合の結果を示している。図より、この通りでは鉄筋強度変動の影響が大きいことがわかる。図6は図3(b), (c)の単鉄筋及び複鉄筋ばかりのM-φ計算結果である。図より、単鉄筋ばかりでも、複鉄筋ばかりでも降伏開始付近のM値に大きな変化はないが、単鉄筋ばかりには大きな変化が生じている。図7は単鉄筋ばかりと複鉄筋ばかりのM-φ関係に及ぼす材料強度変動の影響を調べたもので、コンクリート及び鉄筋ともM及びM±2Sを与えた。この場合も図6と同様のことと言えるが、図7のはりは鉄筋強度の変動に支配されている。

参考文献 ①加藤真理「RC建物ばねの終局耐荷力に関する基礎的研究」、第2回構造論文、1985年3月

②加藤真理「RC建物ばねの終局耐荷力実験」、土木学会新技術研究発表会、1985年3月。

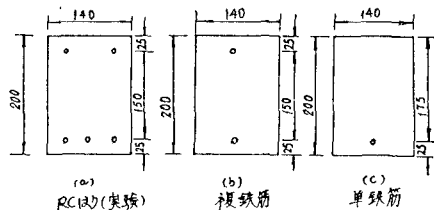


図3. RCはり断面(実験及び計算)

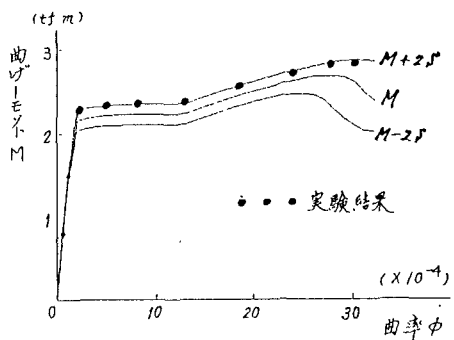


図4. M-φ計算値と実験結果との比較

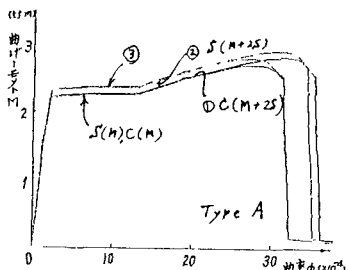


図5. 材料強度実験によるM-φ曲線の変動

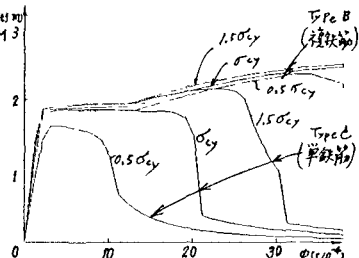


図6. コンクリート強度変動によるM-φ関係

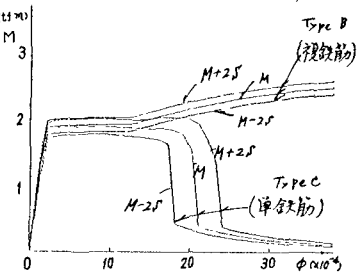


図7. 材料強度変動によるM-φ関係